

# RESEÑA DE LOS HALLAZGOS ARQUEOLÓGICOS EFECTUADOS EN LA CHACRA CNO. PIEDRITAS (PANDO)

(18 de agosto al 1 de diciembre de 2005)



## EQUIPO DE TRABAJO:

**COORDINADOR:** Dr. José María López Mazz

Lic. Laura del Puerto

Lic. Carina Erchini

Lic. Andrés Gascue

Lic. Hugo Inda

Lic. Octavio Nadal

Bach. Aparicio Arcaus

Bach. Verónica de León

Bach. Leonardo Ovando

Bach. Victoria Riveiro

Bach. Ximena Salvo

Bach. Paula Tabarez

Bach. Eugenia Villamarzo

## GRUPO DE INVESTIGACIÓN EN ARQUEOLOGÍA FORENSE (GIAF)

FACULTAD DE HUMANIDADES Y CIENCIAS DE LA EDUCACIÓN - UDELAR

## ÍNDICE TEMÁTICO

<b>I. INTRODUCCIÓN</b>	1
<b>II. PRINCIPALES HALLAZGOS</b>	2
II. 1 INTERFACIES DE DESTRUCCIÓN VERTICAL	4
II.2 ESTRUCTURAS ANTRÓPICAS SUBSUPERFICIALES	5
II.3.1 Depósitos calcáreos	5
II.3.2 Depósitos de materiales culturales en contexto de descarte	8
II.3.3 Artefactos estructurales en contexto primario de uso	9
II. 3 RESTOS ÓSEOS HUMANOS	11
II.3.1 Piezas Dentarias Aisladas	11
III.3.2 Esqueleto Humano Articulado	12
<i>Ubicación y Fuentes de Información</i>	13
<i>Metodología y Técnicas de Excavación</i>	13
<i>Descripción del Hallazgo</i>	14
<i>Levantamiento y Traslado al ITF</i>	16

## ÍNDICE DE FIGURAS

Figura 1. Distribución espacial de las excavaciones efectuadas.	2
Figura 2. Distribución espacial de los principales hallazgos	3
Figura 3. Perfil estratigráfico Este de T C.3, donde se observa la interfaz.	4
Figura 4. Perfil estratigráfico de T IV.3	4
Figura 5. Perfil estratigráfico de TA.5 con interfaces alineadas.	5
Figura 6 Estructura de cal con piedras y arena recuperada en las unidades TE-G 1 y Ampliación.	6
Figura 7. Vista en planta (izquierda) y perfil (derecha) de la estructura recuperada en TA'2	6
Figura 8. Vista en planta y perfil de la estructura recuperada en T '2.	7
Figura 9. Perfil estratigráfico con depósitos de residuos.	8
Figura 10. Excavación del depósito de desechos y materiales recuperados en CD/5-7	8
Figura 11. Perfil estratigráfico y materiales recuperados de TM1.5	9
Figura 12. Composición fotográfica donde se observa el desplazamiento de la portera.	10
Figura 13. Izquierda muerto de madera correspondiente a la actual portera; derecha, muerto de la antigua portera.	10
Figura 14. Muertos de piedra correspondientes a líneas de antiguo viñado.	11
Figura 15. Piezas dentarias humanas recuperadas en las cuadrículas TIII-3 y TD'4.	12
Figura 16. Vista parcial de las excavaciones de los hallazgos señalados por los banderines.	13
Figura 17. Tareas de destape de los restos con instrumental fino	14
Figura 18. Restos óseos una vez finalizado el destape.	15
Figura 19. Levantamiento de los restos óseos	16
Figura 20. Vista de la fosa una vez retirados los restos óseos.	16

**RESEÑA DE LOS HALLAZGOS ARQUEOLÓGICOS EFECTUADOS EN LA  
CHACRA CNO. PIEDRITAS (PANDO)**

**(18 de agosto al 1 de diciembre de 2005)**

**I. INTRODUCCIÓN**

En el presente informe se da cuenta de los principales hallazgos arqueológicos efectuados a la fecha y se discute la relevancia de los mismos.

Las áreas de interés indicadas por la información oficial continúan siendo excavadas en forma manual (pala, azada, cucharín, etc.). Simultáneamente se ha incorporado una retroexcavadora para abordar las áreas perimetrales. En la Tabla 1 se presenta un detalle cuantitativo de las tareas de excavación y en la Figura 1 la distribución espacial de las mismas.

<b>Cuadrículas</b>	<b>Cantidad</b>	<b>m<sup>2</sup></b>	<b>m<sup>3</sup></b>
<i>Excavadas en forma manual</i>			
3x1 m	179	537	698
3x2 m	20	120	156
2x1 m	28	56	78,8
1,5 x1m	18	27	35,1
3x4 m	1	12	15,6
1,5x2 m	4	12	15,6
1,5x1,5 m	4	9	11,7
<b>Subtotal 1</b>	<b>254</b>	<b>773</b>	<b>1010,8</b>
<b>Área total abordada en forma manual</b>		<b>1275,5 m<sup>2</sup></b>	
<i>Excavadas con retroexcavadora</i>			
5x1 m	57	285	484,5
24,5x1 m	1	24,5	41,65
9,7x2 m	1	19,4	32,98
<b>Subtotal 2</b>	<b>59</b>	<b>328,9</b>	<b>559,13</b>
<b>Área total abordada a máquina</b>		<b>524,9 m<sup>2</sup></b>	
<b>TOTAL</b>	<b>273</b>	<b>999,9</b>	<b>1431,13</b>
<b>ÁREA TOTAL ABORDADA</b>		<b>2275,4 m<sup>2</sup></b>	

Tabla 1. Detalle cuantitativo de las excavaciones efectuadas

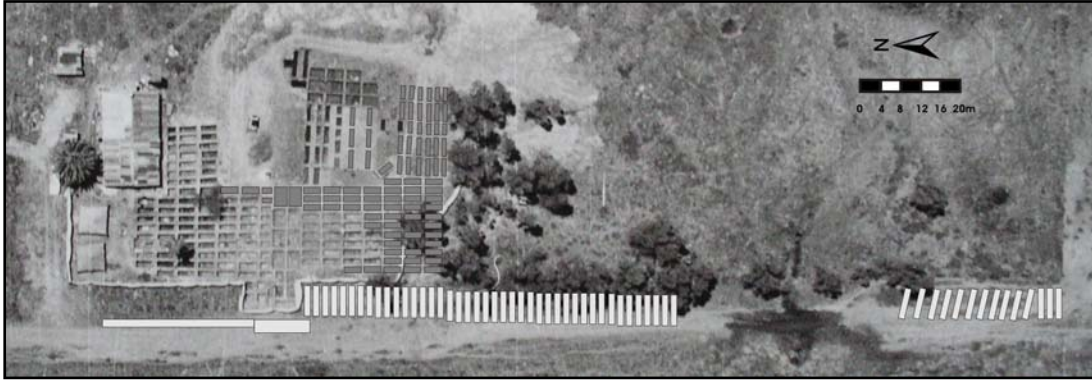


Figura 1. Distribución espacial de las excavaciones efectuadas. Base: Foto Aérea FAU octubre 2005. Se añaden en gris las nuevas cuadrículas excavadas manualmente y en blanco las realizadas por la retroexcavadora.

## II. PRINCIPALES HALLAZGOS

Las excavaciones arqueológicas efectuadas en las áreas de interés – definidas por la información oficial aportada por la Fuerza Aérea – han permitido recuperar y relevar:

- 1- Ocho interfaces de destrucción vertical (remoción y relleno de sedimentos);
- 2- Dieciséis estructuras subsuperficiales antrópicas:
  - tres depósitos calcáreos;
  - tres depósitos de materiales culturales en contexto de descarte;
  - diez artefactos estructurales en contexto primario de uso.
- 3- Restos óseos humanos
  - tres piezas dentarias humanas aisladas;
  - un esqueleto completo articulado

En la figura 2 se ilustra la distribución espacial de los hallazgos.



Figura 2. Distribución espacial de los principales hallazgos efectuados.

## II.1 INTERFACIES DE DESTRUCCIÓN VERTICAL

Fueron relevadas ocho alteraciones acotadas de las unidades estratigráficas naturales, según se detalla a continuación:

1. Una interfaz de planta semicircular, de 1 m de diámetro y 0,7 m de potencia (Figura 4). Hacia la base de los sedimentos de relleno se recuperaron fragmentos de ladrillo.

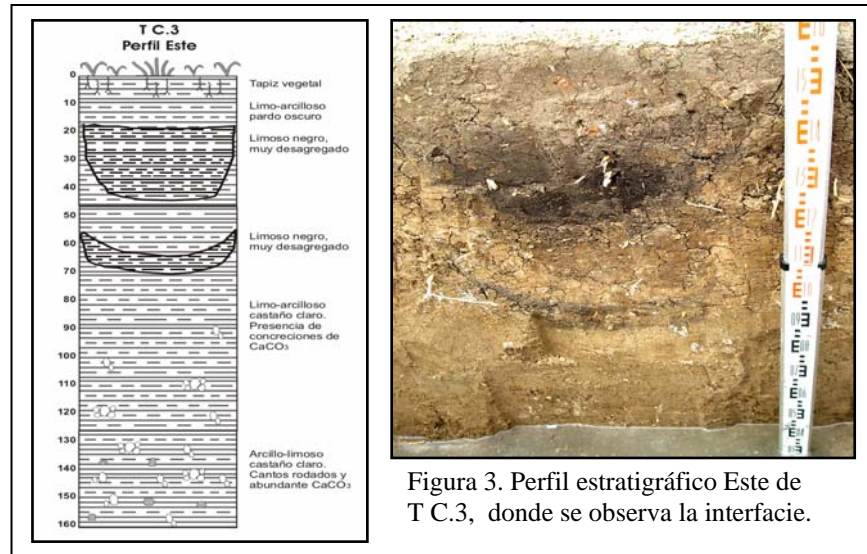


Figura 3. Perfil estratigráfico Este de T C.3, donde se observa la interfaz.

2. Una interfaz de planta semicircular, de 0,67 m de diámetro y 0,5 m de potencia (Figura 5). Se recuperó escaso material cultural: fragmentos de ladrillo, revoque y clavos. El sedimento de relleno tiene un alto contenido orgánico y carbón vegetal.

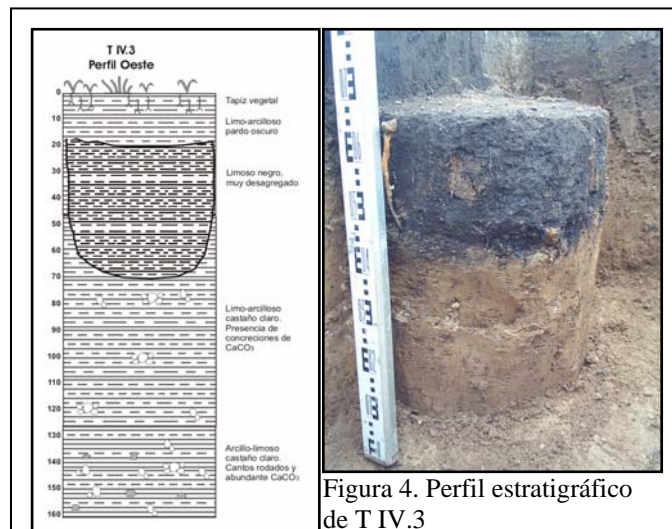


Figura 4. Perfil estratigráfico de T IV.3

3. Seis interfaces menores, de planta semicircular, de 30 cm de diámetro y 15 cm de potencia. Cuatro de las mismas se hallan concentradas en dos cuadrículas contiguas (Figura 2) y presentan una alineación Norte-Sur (Figura 6).

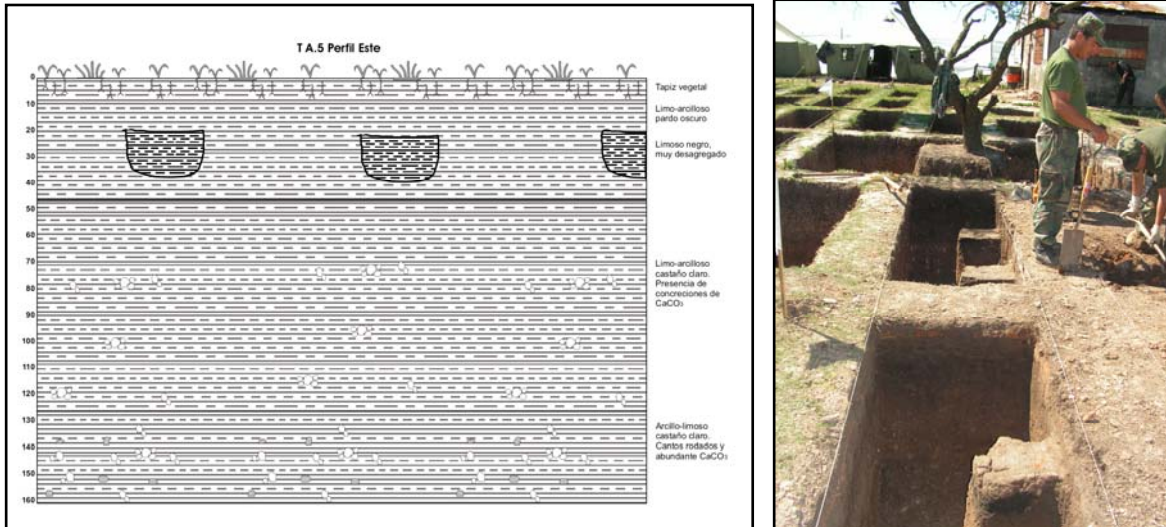


Figura 5. Perfil estratigráfico de TA.5 con interfaces alineadas.

Dadas las dimensiones de las alteraciones relevadas, se descarta su vinculación con actividades de enterramientos humanos.

## II.2 ESTRUCTURAS ANTRÓPICAS SUBSUPERFICIALES

### II.2.1 Depósitos calcáreos

Se excavaron tres depósitos calcáreos de diferentes dimensiones y características.

En primer lugar, en sectores de las cuadrículas TE1, TF1 y TG1 fue localizada una estructura consolidada de cal y piedra, de 2,36 m de largo por 1,42 m de ancho y unos 10 cm de espesor (Figura 6). Esta estructura fue excavada detenidamente, sin producirse el hallazgo de restos óseos humanos vinculados a la misma (subyacentes, suprayacentes o en su interior). Posiblemente su origen se halle relacionado a actividades constructivas propias de un establecimiento rural.



Figura 6. Estructura de cal con piedras y arena recuperada en las unidades TE-G 1 y Ampliación N.

Por otro lado, en la cuadrícula TA'2 se excavó un depósito no consolidado de cal y piedra, a 20 cm de profundidad. El mismo tiene 80 cm de largo por 60 cm de ancho y 15 cm de potencia (Figura 7). Por encima de dicho depósito se constató la presencia de sedimentos con alteración térmica (carbón y tierra quemada).



Figura 7. Vista en planta (izquierda) y perfil (derecha) de la estructura recuperada en TA'2

Esta estructura fue excavada con instrumental fino (espátula, cucharín, estecas, pinceles) y el sustrato extraído fue tamizado en zaranda de 1 cm y 0,5 cm.

Se recuperaron fragmentos óseos en mal estado de conservación, así como carbón vegetal y otros materiales carbonizados de naturaleza no identificada. Estos materiales aguardan el análisis de un especialista para su determinación, en función de la cual se establecerá la relevancia del hallazgo.

Finalmente, en la cuadrícula contigua a la anterior, se recuperó un depósito muy delgado y no consolidado de tierra, cal y piedra, a escasos 5 centímetros de la superficie. El mismo es de forma cuadrangular, de 50 cm x 50 cm y 4 cm de potencia (Figura 8). No se recuperaron materiales culturales en su interior, ni se constataron remociones del sedimento subyacente.



Figura 8. Vista en planta y perfil de la estructura recuperada en T '2.

A excepción del segundo caso – cuya relevancia está sujeta a la naturaleza de los restos recuperados – se descarta la vinculación de estas estructuras con enterramientos humanos. Incluso en dicho caso, de tratarse de restos humanos tampoco se correspondería con la modalidad de inhumación referida por las fuentes oficiales.

## II.2.2 Depósitos de materiales culturales en contexto de descarte

Se excavaron tres depósitos antrópicos subsuperficiales de materiales culturales. Entre ellos se recuperaron restos óseos faunísticos (ovinos, equinos, vacunos, etc), metales, vidrios, plásticos, textiles, materiales de construcción, etc, algunos con indicios de alteraciones térmicas. La naturaleza de estos depósitos, la variedad de materiales recuperados y el estado de fragmentación de los mismos, constituyen un fuerte indicio de contextos de descarte (basureros).

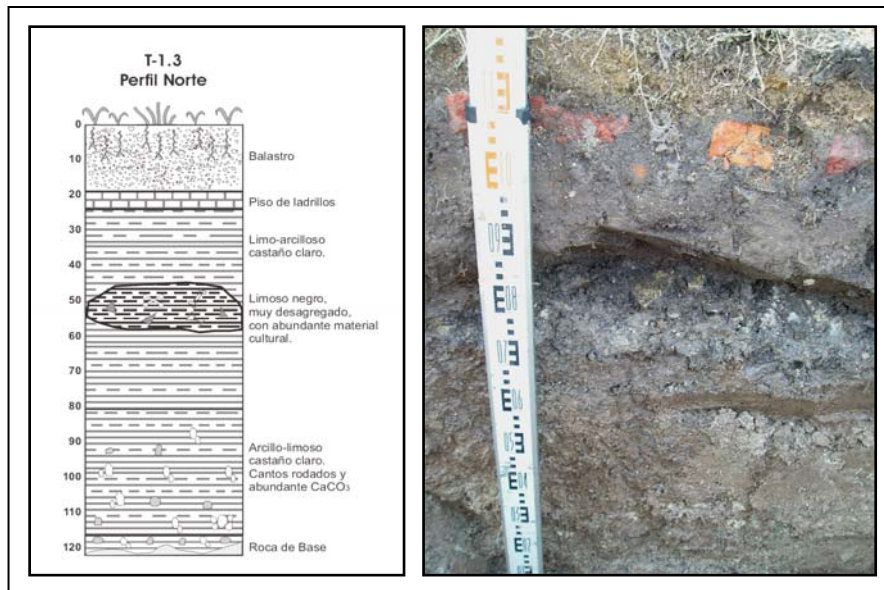


Figura 9. Perfil estratigráfico con depósitos de residuos.



Figura 10. Excavación del depósito de desechos y materiales recuperados en CD/5-7.



Figura 11. Perfil estratigráfico y materiales recuperados de TM1.5

### II.2.3 Artefactos estructurales en contexto primario de uso

Se recuperaron cuatro piques de madera con riendas de metal, correspondientes a muertos (estructuras de anclaje) de la portera de ingreso al establecimiento y de una antigua portera contigua a la actual. Este último hallazgo permitió confirmar la existencia de un desplazamiento hacia el sur de la portera posterior a 1966, tal como fue observado previamente en el análisis de fotointerpretación (Figura 12).

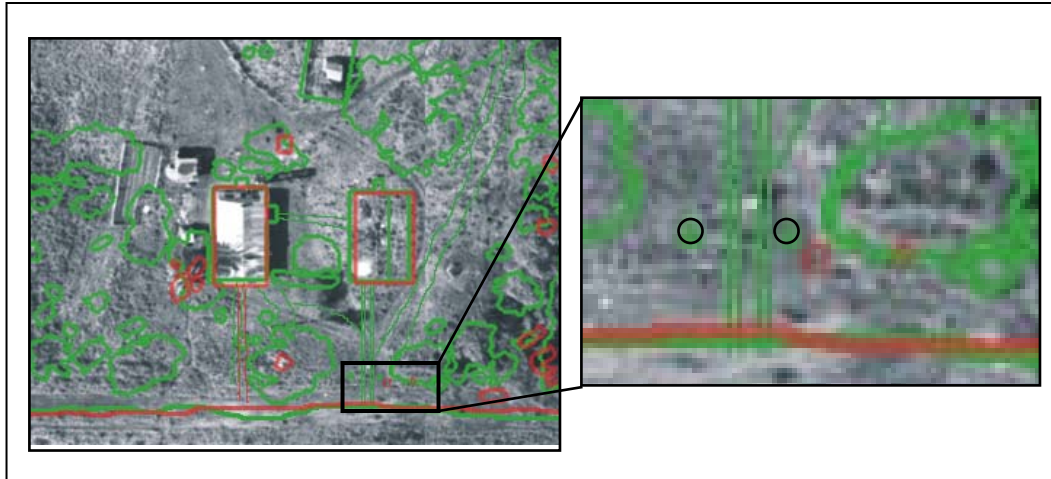


Figura 12. Composición fotográfica donde se observa el desplazamiento de la portera posterior a 1966. Base: Foto aérea 2005 FAU. En verde elementos relevados en foto aérea 1966 (SGM) y en rojo aquellos correspondientes a foto aérea 1982 (FAU).



Figura 13. Izquierda, muerto de madera correspondiente a la actual portera; derecha, muerto de la antigua portera.

Asimismo, en la quinta hilera de cuadrículas de la Zona E (Figura 2) se recuperaron seis muertos de piedra. Los mismos se presentaron alineados Este-Oeste con una distancia promedio de 2 metros entre sí y sus riendas de metal orientadas hacia el Norte. Su distribución espacial y orientación recurrente, indicarían que estas estructuras corresponden a los anclajes terminales de líneas de viñedo. Además, este tipo de estructura permite inferir que el modo de producción era el conocido como “línea directa” o “lira”, primer modo utilizado en la región. Este dato, aunado a la ausencia de rastros de

esta actividad en las fotografías aéreas, estaría indicando que estas estructuras datan de un momento anterior a la segunda mitad del siglo XX.



Figura 14. Muertos de piedra correspondientes a líneas de antiguo viñedo.

## II. 3 RESTOS ÓSEOS HUMANOS

### II.3.1 Piezas Dentarias Aisladas

Si bien las tres piezas fueron recuperadas en zonas marcadas por la información oficial (Figura 2), las mismas se hallaron en contextos secundarios: en los primeros 40 cm de sedimento, sin otros restos óseos humanos y con diversos materiales culturales desplazados (ladrillo, vidrio, metal, lítico, etc). En ninguno de los casos se registraron evidencias significativas de remoción en las capas sedimentarias, que pudieran sugerir el contexto primario de procedencia de las piezas. Esto último es válido tanto para las cuadrículas donde fueron recuperadas las piezas dentarias como para las zonas contiguas. La naturaleza humana de los dientes fue determinada por catedráticos de la Facultad de Odontología, donde fueron analizados y radiografiados.



Figura 15. Dos de las piezas dentarias humanas recuperadas en las cuadrículas TIII-3 (izquierda) y TD'4 (derecha).

El particular desgaste observado en las piezas, el contexto de hallazgo de las mismas y la asociación – en dos de los casos – con material lítico de características prehistóricas, sugieren que podría tratarse de restos de gran antigüedad.

No obstante, en todos los casos se sugiere la realización de análisis de ADN, a los fines de determinar fehacientemente la posible vinculación de estas piezas con los detenidos-desaparecidos cuyos restos habrían sido sepultados en este establecimiento, acorde a la información aportada por la Fuerza Aérea.

### **III.3.2 Esqueleto Humano Articulado**

El 29 de noviembre del corriente año, a las 10:30 horas, fueron hallados restos óseos humanos correspondientes a miembros inferiores (carpos, metacarpos, etc.). Al proseguir las tareas de excavación con instrumental fino, fue posible determinar la presencia de un esqueleto completo y articulado. A continuación se presenta un breve reporte de las principales características del hallazgo.

### *Ubicación y Fuentes de Información*

El hallazgo tuvo lugar en la cuadrícula TM4-5, de 3x1 metro de superficie, que posteriormente debió ser ampliada hacia el Oeste para descubrir el esqueleto completo (Figura 2 4). La misma se ubica en la Zona denominada A, definida de interés a partir de la información oficial aportada por la Fuerza Aérea. Si bien esta zona fue definida desde los comienzos de las intervenciones arqueológicas en el predio, esta cuadrícula en particular se ubica en el extremo sur de la misma, contra la línea de árboles que la delimita. Este hecho, aunado a un proceso permanente de retroalimentación entre la información aportada y las tareas de campo, determinó los tiempos del hallazgo.

### *Metodología y Técnicas de Excavación*

A partir de la información oficial aportada, el área fue abordada mediante cuadrículas de excavación separadas entre sí por testigos estratigráficos de entre 0,3 y 0,5 metros (Método Wheeler). Este método permite abordar áreas amplias optimizando el trabajo y contando con un buen control estratigráfico (a través de los perfiles) para identificar cualquier alteración de las unidades sedimentarias. Las tareas de excavación se realizaron manualmente con ayuda de palas y, una vez detectados los primeros restos se empleó instrumental fino (cucharines, espátulas, estecas, pinceles, etc).



Figura 16. Vista parcial de las excavaciones.

Una vez detectados los primeros restos óseos, se procedió a delimitar la interfase de destrucción (fosa). Posteriormente se procedió al destape del relleno de la estructura con técnicas de *décapage* (remoción exhaustiva y minuciosa de la matriz con instrumental fino), hasta descubrir la totalidad del esqueleto. La totalidad del material de relleno de la fosa fue cuidadosamente revisado en busca de pequeños restos óseos o de otros materiales que pudieran estar asociados al enterramiento. Concomitante a estas tareas, se llevó a cabo el registro planimétrico y fotográfico de la estructura y de los restos óseos.



Figura 17. Tareas de destape de los restos con instrumental fino

### *Descripción del Hallazgo*

Los restos corresponden a un enterramiento primario (articulados en su posición anatómica natural), de un individuo adulto de sexo masculino. El mismo se hallaba extendido en dirección Oeste-Este, en posición decúbito dorsal y con el cráneo levemente inclinado sobre el hombro derecho. Los restos fueron recuperados a 0,5 metros de profundidad, dentro de una fosa de 0,7 metros de ancho por 1,72 metros de largo cavada hasta la roca de base. La matriz de relleno estaba compuesta por sedimentos y grandes cantidades de cal, que se distribuía heterogéneamente por debajo y por encima de los restos, así como entre los miembros superiores y el tronco. Los restos óseos presentan un estado de conservación regular, debido a la humedad propia del suelo que los contenía.

Se evidenciaron diversas fracturas, no pudiéndose determinar preliminarmente la naturaleza *perimortem* o *postmortem* de las mismas.

Asociadas al enterramiento se recuperaron escasas fibras textiles localizadas en la zona torácica y una bolsa de nylon hallada por debajo de los miembros inferiores.



Figura 18. Restos óseos una vez finalizado el destape.

### *Levantamiento y Traslado al ITF*

Finalizadas las tareas de destape y registro, se procedió al levantamiento, caracterización y acondicionamiento de las piezas óseas para su traslado al ITF. Para estas tareas se contó con el asesoramiento y la participación de técnicos del Equipo Argentino de Antropología Forense. En esta instancia también se hicieron presentes miembros de la Policía Técnica, el Juez interviniente en la causa y miembros del Instituto Técnico Forense (ITF).

Conjuntamente al levantamiento de las piezas óseas, se procedió a la extracción de muestras sedimentarias de diversas áreas asociadas al esqueleto, a los fines de posteriores análisis. Todos los materiales recuperados fueron acondicionados debidamente y trasladados al ITF el jueves 1 de diciembre a las 19:30 horas, para su identificación y caracterización forense.



Figura 19. Levantamiento de los restos óseos



Figura 20. Vista de la fosa una vez retirados los restos óseos.